



## Raport

z badań poziomu natężenia pola elektrycznego  
w otoczeniu stacji bazowej:

### WRO1609

na podstawie sprawozdania 42/263/24/OS udostępnionego przez Radiolog S.C. Tadeusz  
Piotrowski i Janusz Rzepka

---

#### Laboratorium prowadzące badania

Radiolog S.C. Tadeusz Piotrowski i Janusz Rzepka  
ul. Dworska 46  
71-026 Szczecin  
91 483 21 15  
radiolog\_sc@poczta.onet.pl

#### Zleceniodawca badań

P4 Sp. z o.o.  
Wynalazek 1  
02-677 Warszawa  
790 500 500  
kontakt@play.pl

Nr akredytacji: AB 413

Data wydania sprawozdania: 20.06.2024

Raport zawiera wybrane elementy sprawozdania i służy wyłącznie obrazowemu przedstawieniu informacji o danej instalacji. Raport nie może być wykorzystywany w postępowaniach administracyjnych.

## Informacje ogólne

Zgodność z metodyką RMK: Tak

Wykorzystanie w obszarze regulowanym: Tak

## Przedmiot badań

<b>Identyfikator stacji w UKE</b>	<b>WRO1609</b>
Operator	P4 Sp. z o.o.
Współrzędne	17,0400861; 51,0826500
Rodzaj pracy	ciągła
Rodzaj wytwarzanego pola	stacjonarne

## Miejsce badań

Otoczenie stacji bazowej WRO1609 w lokalizacji Wrocław, ul. Orzechowa 13.

## Cel badań

1. Zweryfikowanie zgodności z wymaganiami rozporządzenia Ministra Zdrowia z dnia 19 grudnia 2019 r.

## Opis stacji bazowych

Tabela 1: Opis anten badanych stacji bazowych

Lp.	Identyfikator stacji w UKE	Typ Producent anteny	Azymut	H	EIRP	Pasma	Tilt	Tilt w trakcie pomiarów
			[°]	[m]	[W]	[MHz]	[°]	[°]
1	WRO1609	ATR4518R6v06 Huawei	0	35,00	24568*	LTE 1800	0,0 - 10,0	5,0
						LTE 2100	0,0 - 10,0	5,0
						UMTS 900	0,0 - 10,0	5,0
						LTE 1800	0,0 - 10,0	5,0
						LTE 2100	0,0 - 10,0	5,0
2		ATR4518R6v06 Huawei	0	35,00	13315*	LTE 2600	0,0 - 10,0	5,0
					LTE 800	0,0 - 10,0	5,0	
					LTE 2600	0,0 - 10,0	5,0	
3		ATR4518R6v06 Huawei	120	35,00	24568*	LTE 1800	0,0 - 10,0	5,0
					LTE 2100	0,0 - 10,0	5,0	
					LTE 1800	0,0 - 10,0	5,0	
					LTE 2100	0,0 - 10,0	5,0	
					UMTS 900	0,0 - 10,0	5,0	
4		ATR4518R6v06 Huawei	120	35,00	13315*	LTE 2600	0,0 - 10,0	5,0
					LTE 2600	0,0 - 10,0	5,0	
					LTE 800	0,0 - 10,0	5,0	
5		ATR4518R6v06 Huawei	240	35,00	24568*	LTE 1800	0,0 - 10,0	5,0
					LTE 2100	0,0 - 10,0	5,0	
					LTE 1800	0,0 - 10,0	5,0	
					LTE 2100	0,0 - 10,0	5,0	
					UMTS 900	0,0 - 10,0	5,0	
6		ATR4518R6v06 Huawei	240	35,00	13315*	LTE 2600	0,0 - 10,0	5,0
					LTE 800	0,0 - 10,0	5,0	
					LTE 2600	0,0 - 10,0	5,0	

\* moc EIRP łączna dla wszystkich częstotliwości anteny

## Warunki pomiarów

Pomiary w wyznaczonych punktach wykonano w następujących warunkach:

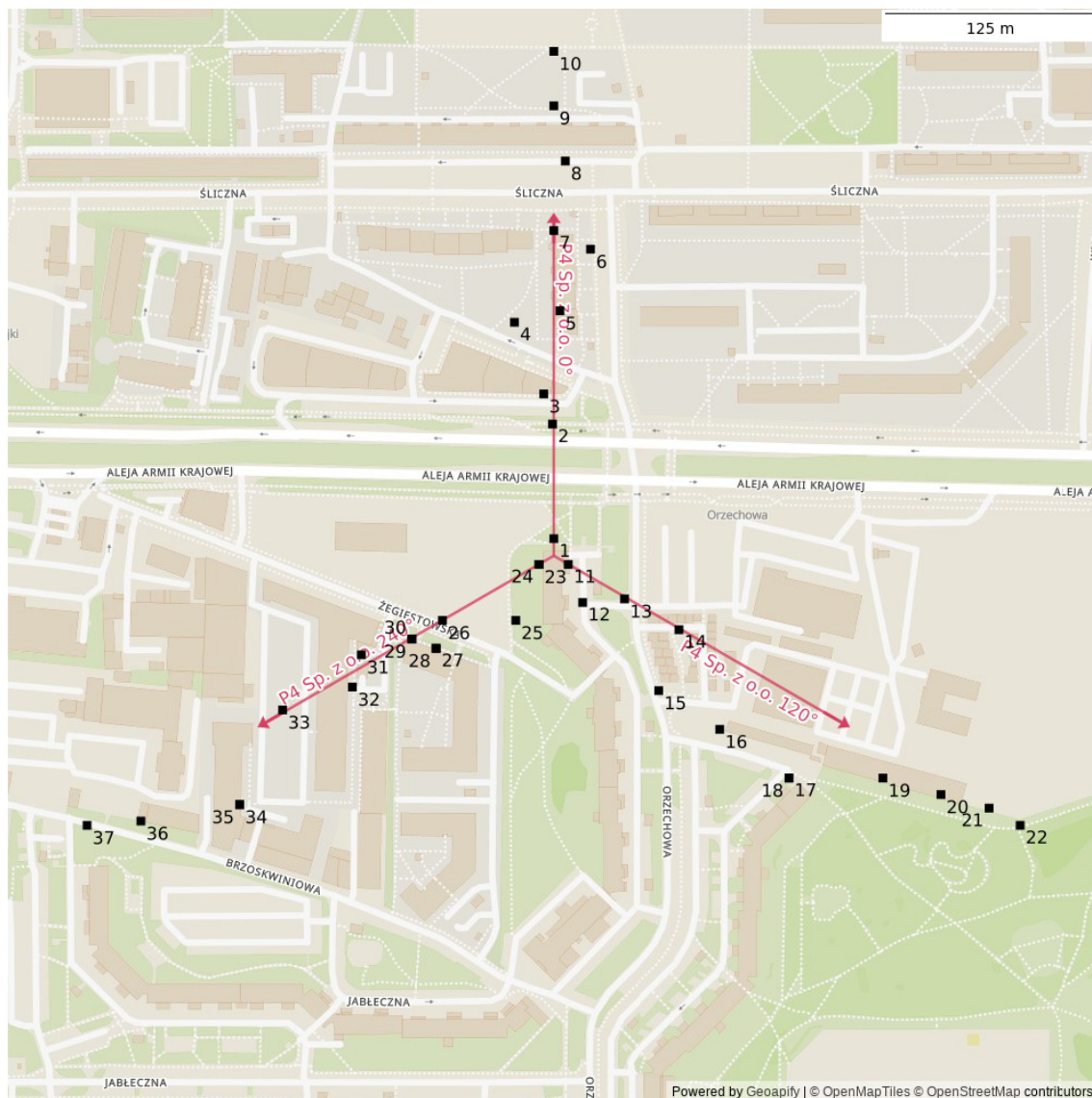
19.06.2024 08:00-11:00			
Warunki środowiskowe	Temperatura [°C]	Wilgotność [%]	Opady
Minimalna	15,0	67,5	brak
Maksymalna	19,6	78,1	

## Aparatura

Tabela 2: Aparatura

MIERNIKI I SONDY					
Lp.	Typ / Nazwa	Model	Producent	Próg detekcji	Świadectwo wzorcowania
1a	miernik	SMP2	SMP		LWiMP/W/304/22 z dn. 07.10.2022 wydane przez LWiMP
1b	sonda	WPF8 HP	SMP	0,50	
2a	miernik	NBM- 550	Narda		LWiMP/W/086/23 z dn. 28.02.2023 wydane przez LWiMP
2b	sonda	EF6091	Narda	0,50	
POZOSTAŁE					
Lp.	Typ / Nazwa	Model	Producent	Świadectwo wzorcowania	
3	termohigrometr	Termik+S	Termoprodukt	0128/AH/24 z dn. 24.01.2024 wydane przez MUTECH	

# Lokalizacje pionów pomiarowych



Rysunek 1: Plan terenu

## Dodatkowe informacje o punktach

**punkt 3:** ul. Armii Krajowej 12B/8 - GMK Management, IV kondyg., balkon biura

**punkt 5:** ul. Śliczna 41/11 - VI kondyg., balkon

**punkt 8:** ul. Śliczna 40/17 - VI kondyg., pokój w otwartym oknie

**punkt 11:** ul. Orzechowa 14 - XI kondyg., klatka schodowa w otwartym oknie

**punkt 17:** ul. Orzechowa 18 - IX kondyg., klatka schodowa w otwartym oknie

**punkt 18:** ul. Orzechowa 18 - VIII kondyg., klatka schodowa w otwartym oknie

**punkt 23:** ul. Orzechowa 14/34 - XII kondyg., balkon

**punkt 24:** ul. Orzechowa 14/34 - XII kondyg., pokój

**punkt 27:** ul. Zagiestowska 13a - VII kondyng., klatka schodowa w otwartym oknie

**punkt 28:** ul. Zagiestowska 13a - VI kondyng., klatka schodowa w otwartym oknie

**punkt 29:** ul. Zagiestowska 13 - VII kondyng., klatka schodowa w otwartym oknie

**punkt 30:** ul. Zagiestowska 13 - VI kondyng., klatka schodowa w otwartym oknie

**punkt 31:** Siłownia - II kondyng., sala w otwartym oknie

**punkt 34:** ul. Brzoskwiniowa 40/10 - VII kondyng., balkon

**punkt 35:** ul. Brzoskwiniowa 40 - VI kondyng., klatka schodowa w otwartym oknie

## Wyniki pomiarów szerokopasmowych

Tabela 3: Zestawienie lokalizacji pionów pomiarowych oraz wyników pomiarów natężenia pola elektrycznego, pomiary szerokopasmowe

Nazwa	Data	Współrzędne geograficzne	E	WM <sub>E</sub>	H	WM <sub>H</sub>
		[°]	[ $\frac{V}{m}$ ]		[ $\frac{A}{m}$ ]	
1	19.06.2024	17,0400867 51,0827408	2,12	0,076	0,006	0,077
2	19.06.2024	17,0400753 51,0833511	2,74	0,098	0,007	0,100
3	19.06.2024	-	3,24	0,116	0,009	0,118
4	19.06.2024	17,0397530 51,0838928	1,00	0,036	0,003	0,036
5	19.06.2024	-	2,61	0,093	0,007	0,095
6	19.06.2024	17,0403976 51,0842819	2,74	0,098	0,007	0,100
7	19.06.2024	17,0400867 51,0843811	0,87	0,031	0,002	0,032
8	19.06.2024	-	2,61	0,093	0,007	0,095
9	19.06.2024	17,0400867 51,0850449	< 0,62	< 0,022	< 0,002	< 0,023
10	19.06.2024	17,0400867 51,0853348	< 0,62	< 0,022	< 0,002	< 0,023
11	19.06.2024	-	3,11	0,111	0,008	0,113
12	19.06.2024	17,0403309 51,0824013	1,37	0,049	0,004	0,050
13	19.06.2024	17,0406857 51,0824203	1,49	0,053	0,004	0,054
14	19.06.2024	17,0411472 51,0822563	1,87	0,067	0,005	0,068
15	19.06.2024	17,0409756 51,0819321	2,37	0,085	0,006	0,086

Ciąg dalszy na następnej stronie

Tabela 3: Zestawienie lokalizacji pionów pomiarowych oraz wyników pomiarów natężenia pola elektrycznego, pomiary szerokopasmowe (c.d.)

Nazwa	Data	Współrzędne geograficzne	E	WM <sub>E</sub>	H	WM <sub>H</sub>
		[°]	[ $\frac{V}{m}$ ]		[ $\frac{A}{m}$ ]	
16	19.06.2024	17,0414925 51,0817261	2,74	0,098	0,007	0,100
17	19.06.2024	–	2,74	0,098	0,007	0,100
18	19.06.2024	–	3,11	0,111	0,008	0,113
19	19.06.2024	17,0428753 51,0814667	1,99	0,071	0,005	0,072
20	19.06.2024	17,0433674 51,0813789	1,74	0,062	0,005	0,063
21	19.06.2024	17,0437756 51,0813065	1,62	0,058	0,004	0,059
22	19.06.2024	17,0440388 51,0812149	1,49	0,053	0,004	0,054
23	19.06.2024	–	3,24	0,116	0,009	0,118
24	19.06.2024	–	1,37	0,049	0,004	0,050
25	19.06.2024	17,0397644 51,0823059	1,62	0,058	0,004	0,059
26	19.06.2024	17,0391426 51,0823059	1,87	0,067	0,005	0,068
27	19.06.2024	–	3,11	0,111	0,008	0,113
28	19.06.2024	–	2,61	0,093	0,007	0,095
29	19.06.2024	–	3,49	0,125	0,009	0,127
30	19.06.2024	–	2,86	0,102	0,008	0,104
31	19.06.2024	–	< 0,62	< 0,022	< 0,002	< 0,023
32	19.06.2024	17,0383797 51,0819511	< 0,62	< 0,022	< 0,002	< 0,023
33	19.06.2024	17,0377884 51,0818291	< 0,62	< 0,022	< 0,002	< 0,023
34	19.06.2024	–	3,86	0,138	0,010	0,140
35	19.06.2024	–	2,74	0,098	0,007	0,100
36	19.06.2024	17,0365868 51,0812378	< 0,62	< 0,022	< 0,002	< 0,023
37	19.06.2024	17,0361309 51,0812149	< 0,62	< 0,022	< 0,002	< 0,023

## Podsumowanie

Na podstawie wyników pomiarów pola elektromagnetycznego przedstawionych w niniejszym raporcie o nr 42/263/24/OS opracowanym przez Radiolog S.C. Tadeusz Piotrowski i Janusz Rzepka stwierdza się, że w otoczeniu stacji bazowej WRO1609 dopuszczalne poziomy pól elektromagnetycznych w środowisku, określone w przepisach wydanych na podstawie art. 122 ust.

1 ustawy z dnia 27 kwietnia 2001 r. – Prawo ochrony środowiska uznaje się za **dotrzymane**.  
Udokumentowano, że w żadnym pionie pomiarowym wartości wskaźnikowe  $WM_E$  oraz  $WM_H$  nie przekroczyły 1.

## **Osoby odpowiedzialne**

Wykonanie pomiarów: b.d.

Opracowanie sprawozdania: b.d.

Autoryzacja sprawozdania: Janusz Rzepka (Kierownik Laboratorium)